

Figura 9.13 Biprisma de Fresnel. (a) Formação de duas fontes, imagens da fonte S. (b) Quando se utiliza uma fenda como fonte, as franjas organizam-se em bandas brilhantes. (c) Franjas de interferência observadas com um biprisma para electrões, implementado por G. Möllenstedt. Os electrões comportam-se como fotões. (Fotografia do Handbuch der Physik, editado por S. Flügge, Springer-Verlag, Heidelberg).

Divisão de fonte e onda fronte

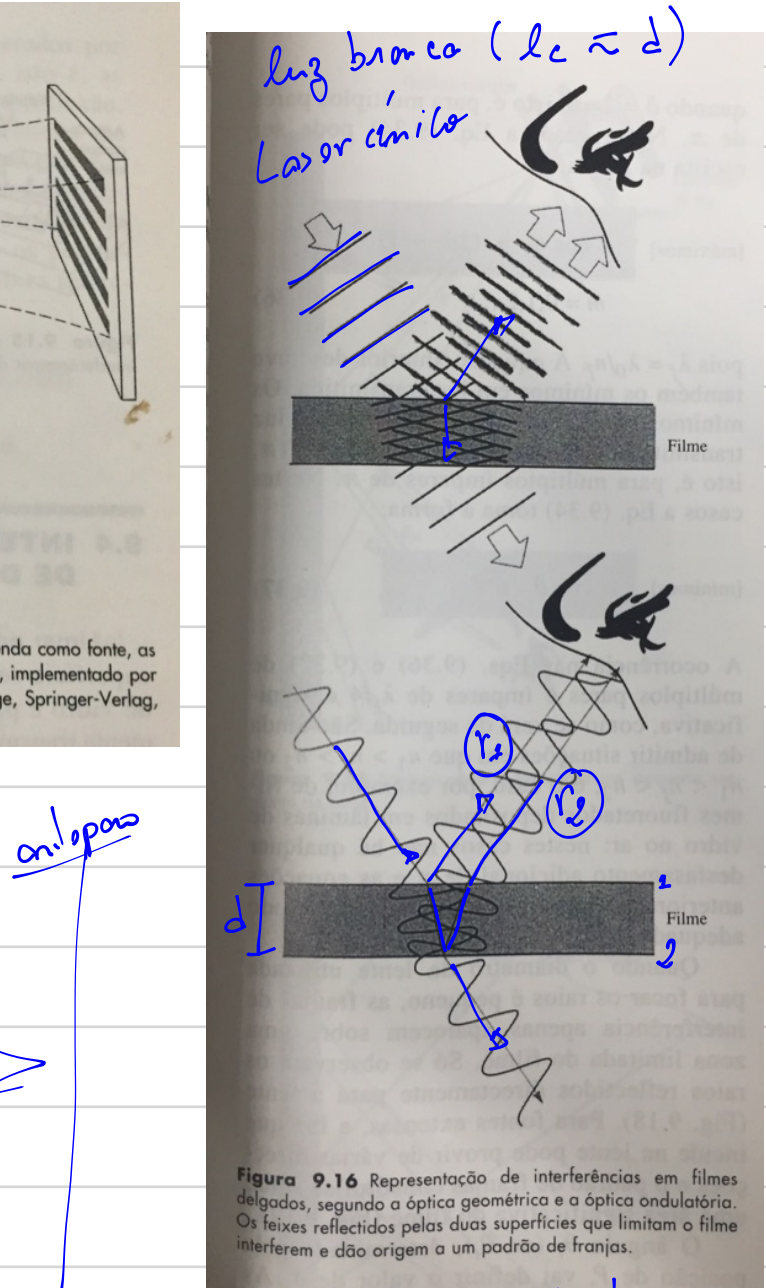
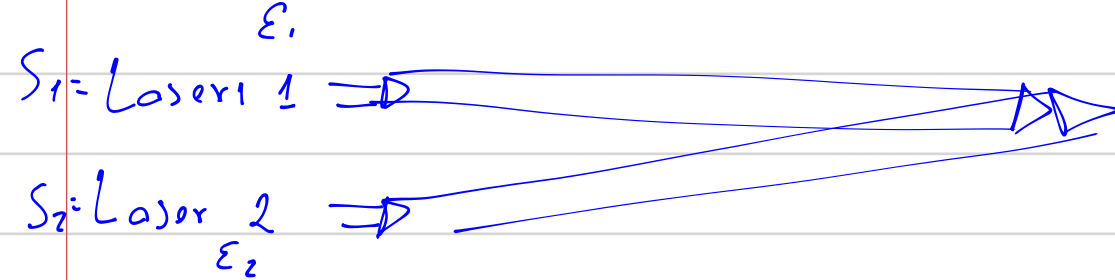


Figura 9.16 Representação de interferências em filmes delgados, segundo a óptica geométrica e a óptica ondulatória. Os feixes reflectidos pelas duas superfícies que limitam o filme interagem e dão origem a um padrão de franjas.

Divisão de amplitude

Interferência -

Divisão de amplitude

i = Exemplo : filme fino

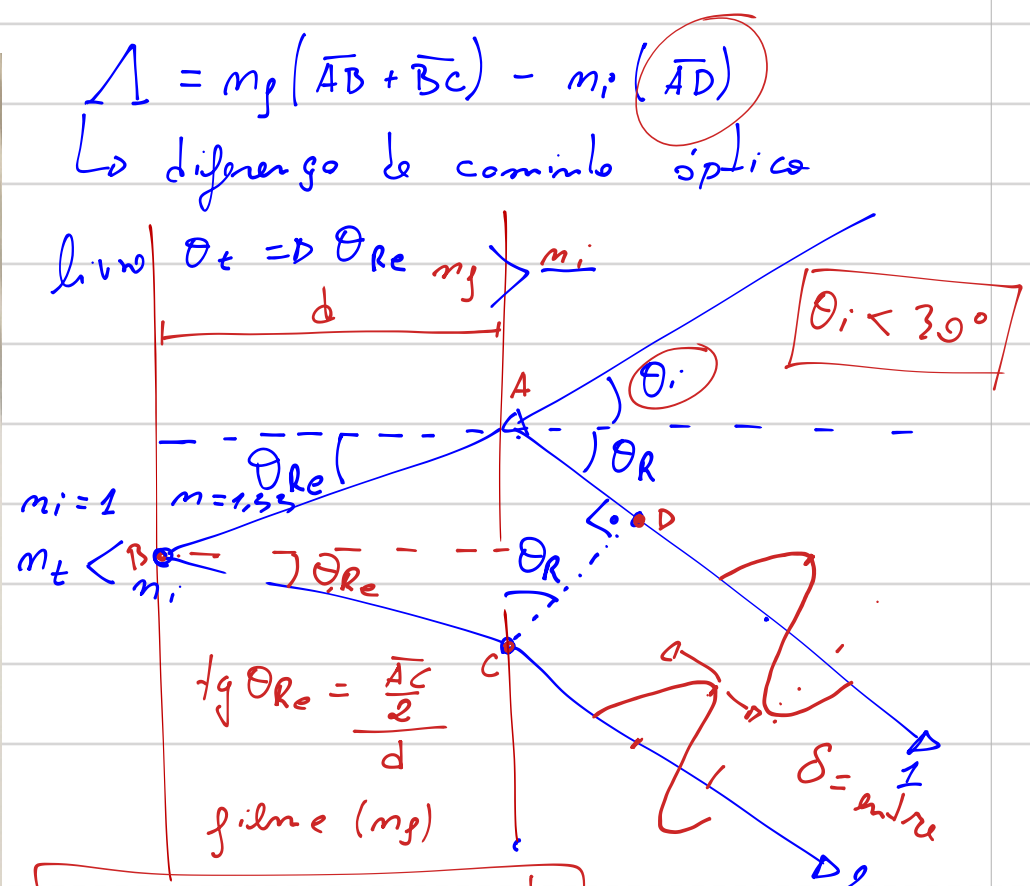
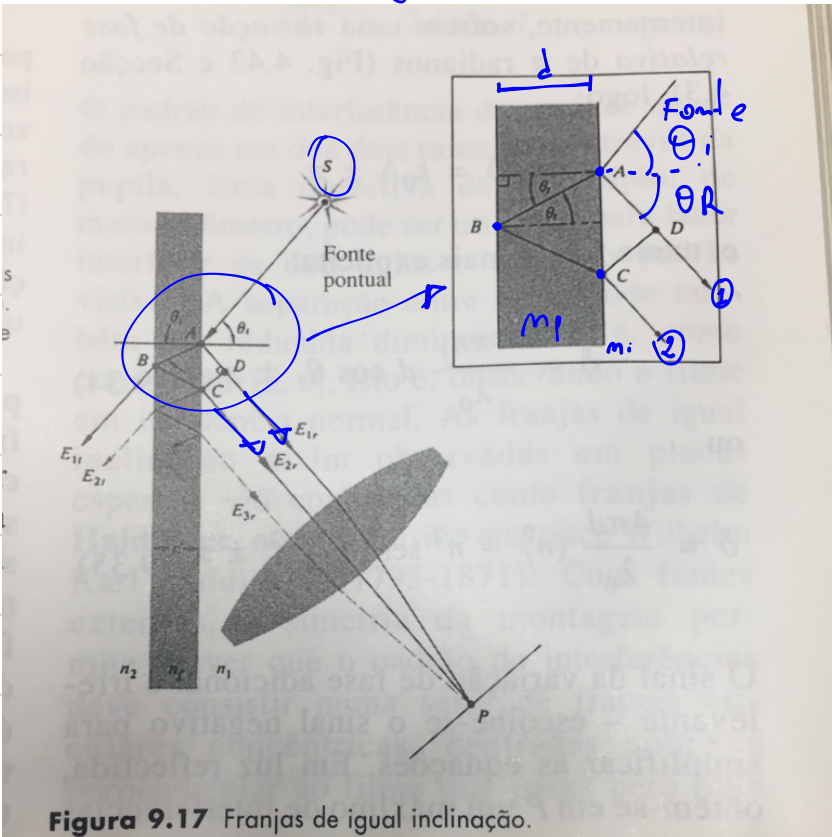


Figura 9.17 Franjas de igual inclinação.

$$\cos \theta_{Re} = \frac{d}{AB} = \frac{d}{BC}$$

$$\tan \theta_R = \frac{\overline{AD}}{\overline{CD}}$$

$$\begin{aligned}\operatorname{Sen} \theta_R &= \operatorname{Sen} \theta_i \\ \operatorname{Sen} \theta_i &= \frac{\overline{AD}}{\overline{AC}}\end{aligned}$$

$$\operatorname{Sen} \theta_i m_i = \operatorname{Sen} \theta_{Re} m_f$$

$$\frac{\overline{AD}}{\overline{AC}} m_i = \operatorname{Sen} \theta_{Re} m_f$$

$$\frac{\overline{AD}}{\overline{AC}} = \frac{\overline{AC}}{\overline{AD}} \frac{m_f}{m_i} \operatorname{Sen} \theta_{Re}$$

$$\frac{\overline{AC}}{\overline{CD}} = \tan \theta_{Re}$$

$$\overline{AD} = \tan \theta_{Re} (2d) \cdot \frac{m_f}{m_i} \operatorname{Sen} \theta_{Re} = 2d m_f \frac{\operatorname{Sen}^2 \theta_{Re}}{\operatorname{Sen} \theta_{Re}}$$

$$\begin{aligned}\Delta &= m_f \left(\frac{d}{\cos \theta_{Re}} + \frac{d}{\cos \theta_{Ro}} \right) - m_i \left(2d \frac{m_f}{m_i} \frac{\operatorname{Sen}^2 \theta_{Re}}{\cos \theta_{Re}} \right) \\ &= \frac{2d m_f}{\cos \theta_{Re}} \left(1 - \operatorname{Sen}^2 \theta_{Re} \right) = \frac{2d m_f \cdot \cos^2 \theta_{Re}}{\cos \theta_{Re}}\end{aligned}$$

$$\boxed{\Delta = 2d m_f \cos \theta_{Re}} + \text{de combinação óptica}$$

$$\delta = K \cdot \Delta + \Delta \phi$$

$$\delta = \left(\frac{2\pi}{\lambda} \right) 2d m_f \cos \theta_{Re} + \Delta \phi$$

$$\boxed{\Delta \phi = \pi}$$

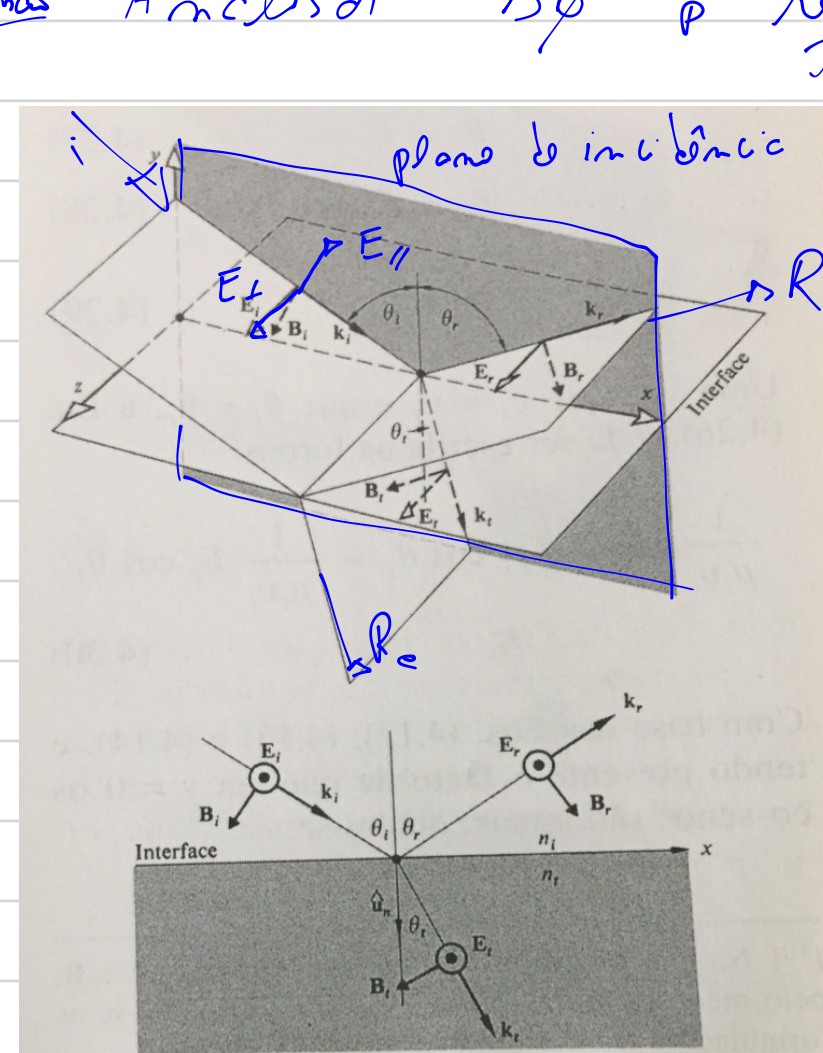
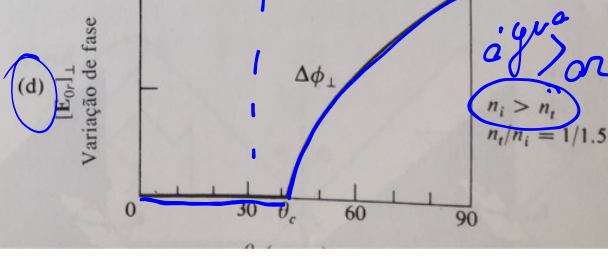
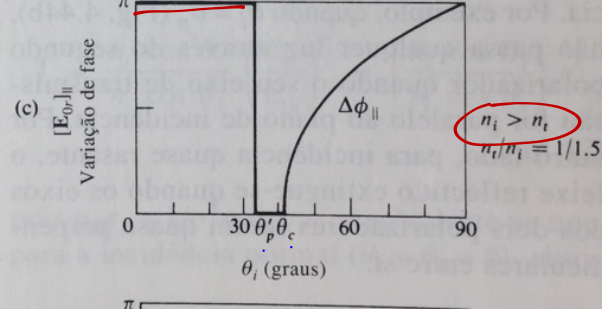
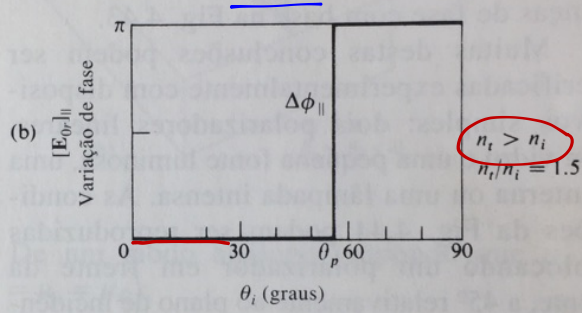
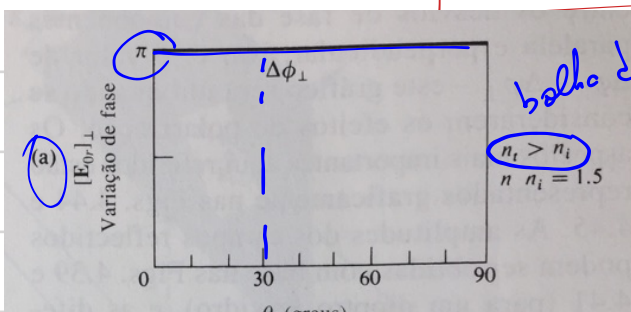
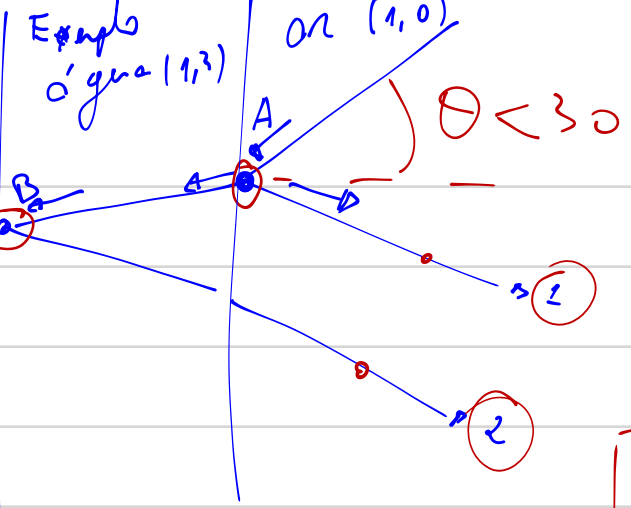


Figura 4.37 Onda incidente, com o campo eléctrico \mathbf{E} normal ao plano de incidência.

n_i = incidente
 n_t = transmitido

Exames analisando:
Somente a reflexão



A
 $n_i < n_t$
figura 4.43a
figura 4.43b

B
 $n_i > n_t$
fig 4.43d
fig 4.43c

$$\Delta\phi_1 = \pi \quad E_\perp$$

$$\Delta\phi_2 = \pi \quad E_\parallel$$

$$\delta = \left(\frac{2\pi}{\lambda_0}\right) 2n_f d \cos\theta_{Re} \pm \pi$$

$$\delta = 2m\pi \quad m = 0, 1, 2, \dots \quad \text{Int. constructiva}$$

veja brevemente

$$\delta = (2m+1)\pi \quad \text{Interferência destrutiva}$$

veja mais brevemente

$$\frac{2\pi}{\lambda_0} 2n_f d \cos\theta_{Re} \pm \pi = 2m\pi$$

$\lambda_0 = \text{no vazio}$

$\lambda_f = \text{no meio f}$

$$2n_f d \cos\theta_{Re} = (2m+1)\lambda_0$$

$$2d \cos\theta_{Re} = \left(m + \frac{1}{2}\right) \left(\frac{\lambda_0}{n_f}\right) = \lambda_f$$

Simplificando

$$2d \cos\theta_z = (2m+1) \frac{\lambda_f}{4}$$

de ambas o resultado

$$\theta_z = \theta_{Re}$$

Int. const. destrutiva

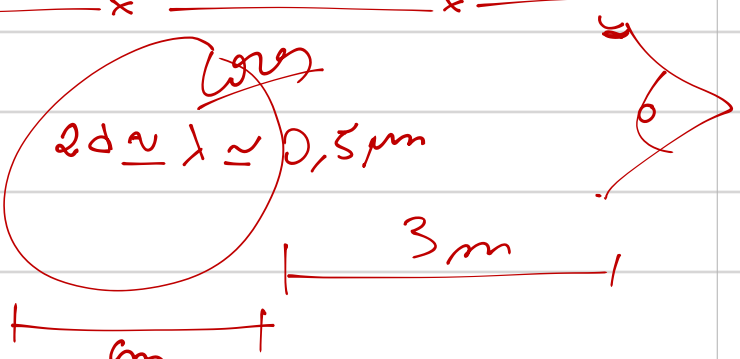
analogo

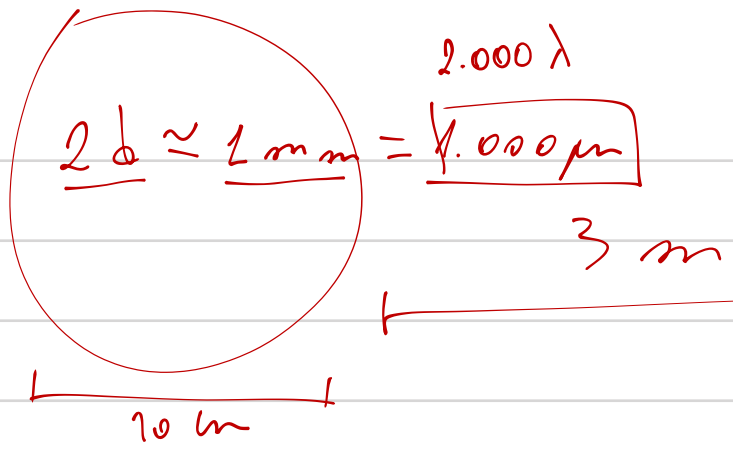
$$d \cos\theta_z = 2m \frac{\lambda_f}{4}$$

P/ Int. destrutiva

bomba (sobrada (Ex. anterior))

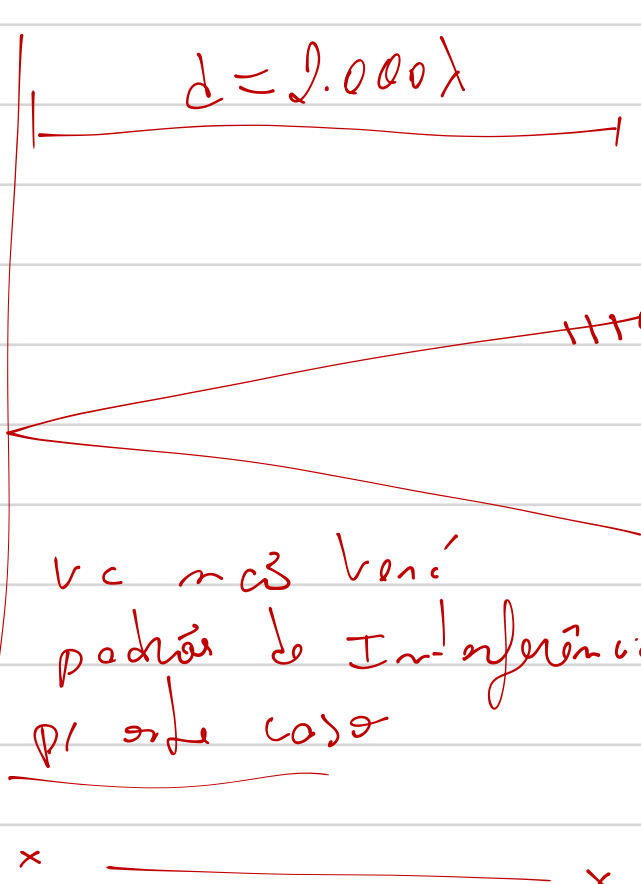
$$400 - 700 \text{ nm}$$



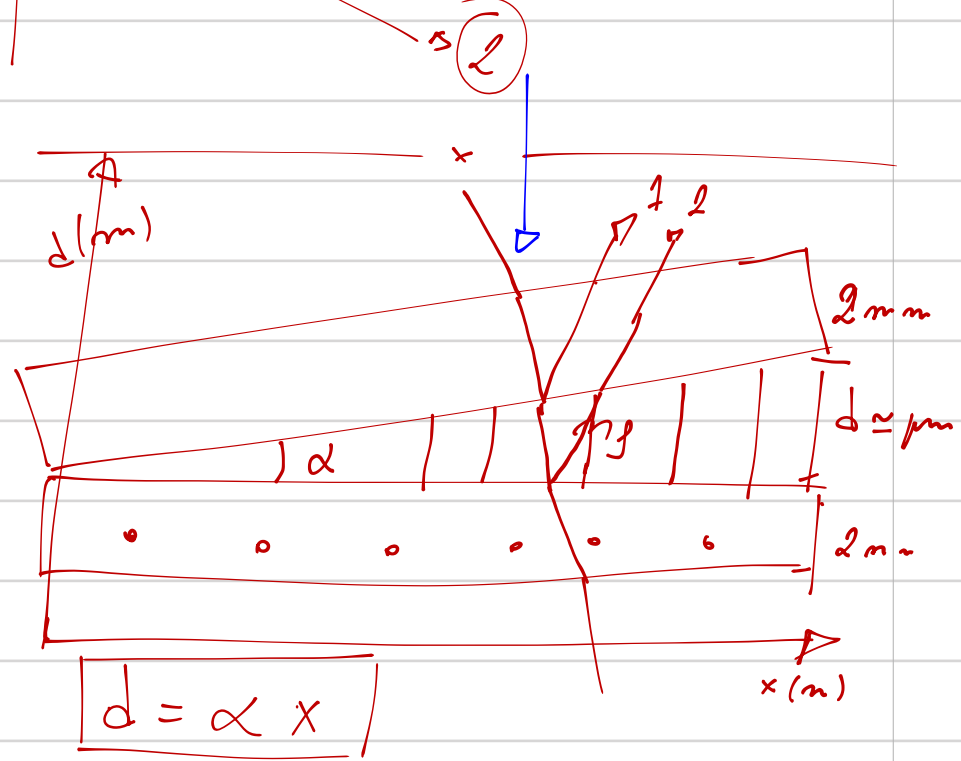
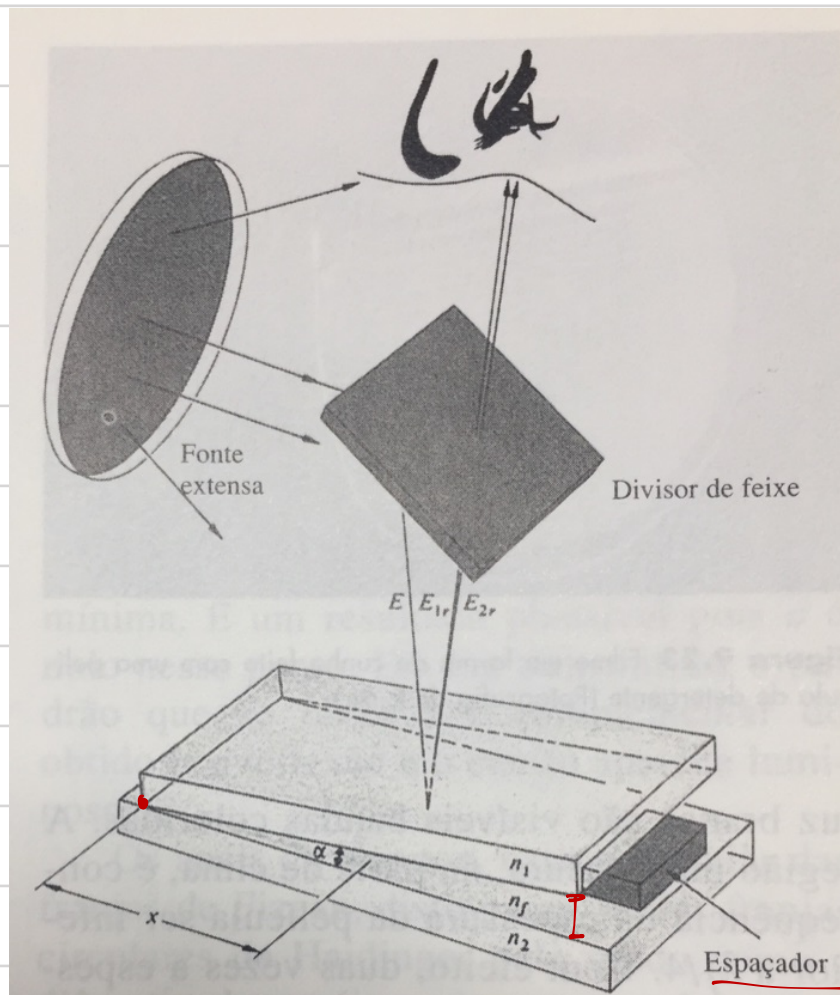


$$\frac{luz}{l_c} = s \cdot \delta \theta$$

$$l_c \approx \lambda$$



$$\frac{luz}{l_c} \approx 1$$



Ind Condensiva

$$d \cos \theta_z = (2m+1) \frac{\lambda_p}{4}$$

$$\alpha \times \cos \theta_z = (2m+1) \frac{\lambda_p}{4}$$

para um filme de n -vele das
lâminas de vidro ($m=1,4$)

$$\alpha \times \cos \theta_z = (2m+1) \frac{\lambda_p}{1.4}$$

Figura 9.22 Franjas produzidas por um filme em forma de cunha.

Se ainda coríamos observavos resultados

hom = lâmina

$$\Rightarrow \theta_+ = 1$$

$$\frac{\alpha x = (2m + 1) \lambda_0 / 4}{m = 0, 1, 2, 3} \quad \text{In! Correta}$$

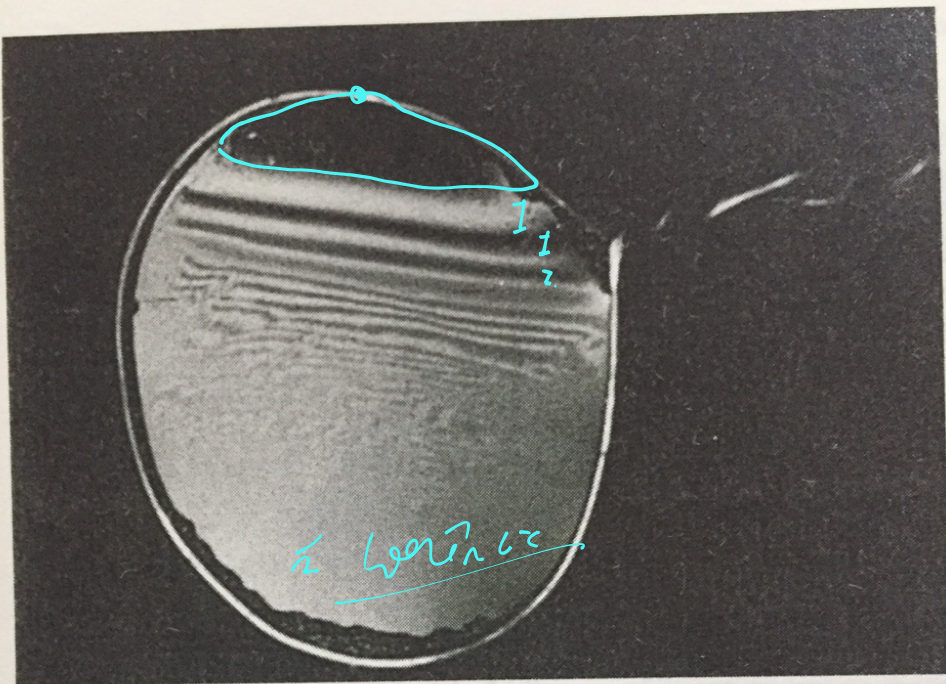


Figura 9.23 Filme em forma de cunha feito com uma película de detergente (Fotografia de E. H.)

Círculos \downarrow Newton



Figura 9.25 Anéis de Newton com duas lâminas de microscópio (Fotografia de E. H.)

$$d \Rightarrow \theta_+ = (2m + 1) \frac{\lambda_0}{4}$$

$$\frac{x^2}{2R} = (2m + 1) \frac{\lambda_0}{4}$$

$$x = \sqrt{\frac{\lambda_0 R}{2}} (2m + 1)$$

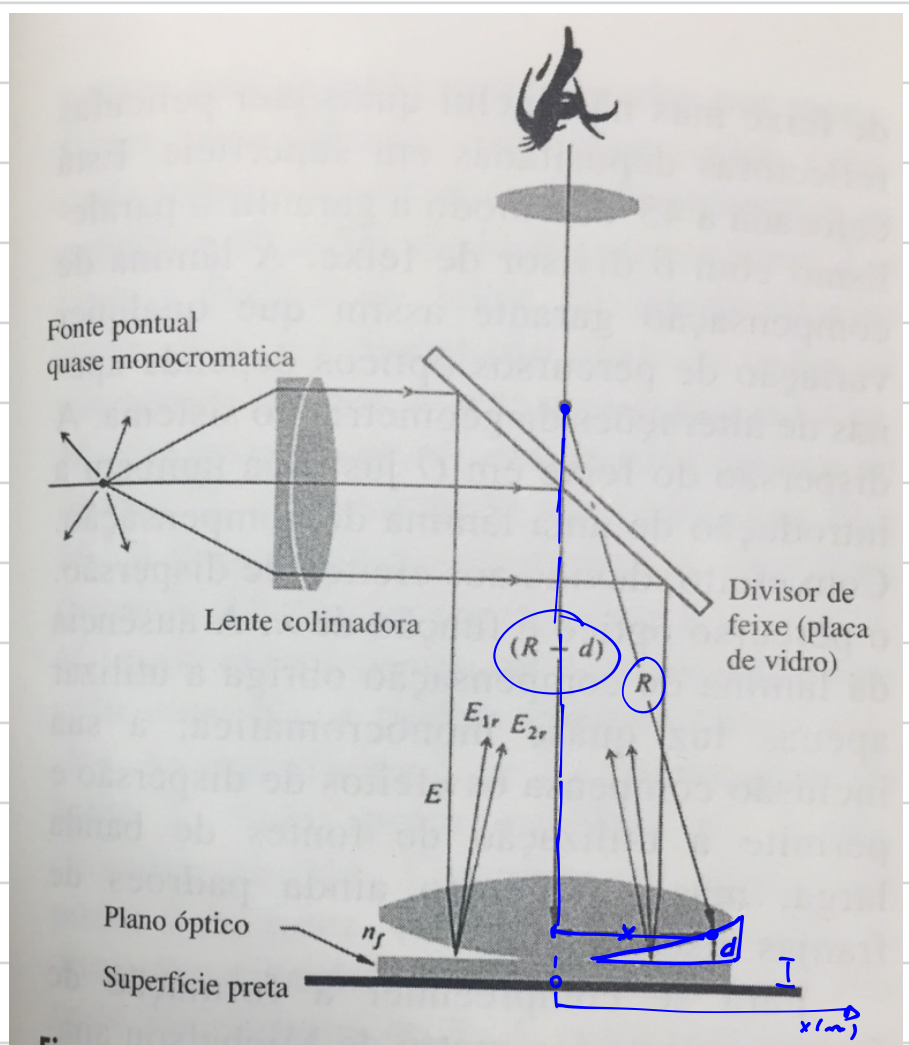


Figura 9.26 Geometria para observação dos anéis de Newton.

$$d = ? \quad x^2 + (R - d)^2 = R^2$$

$$x^2 = R^2 - R^2 - (-2Rd) - d^2$$

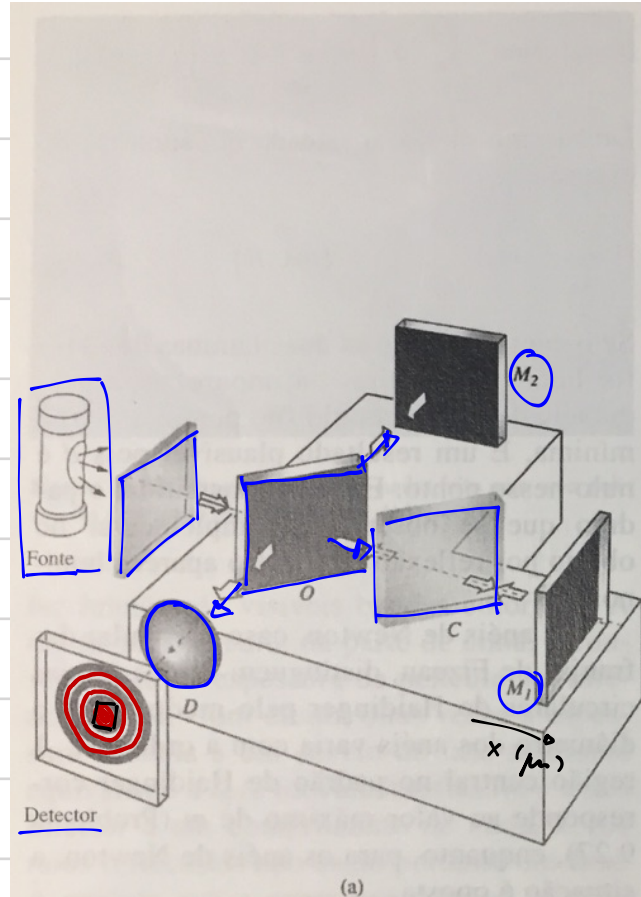
$$x^2 = 2Rd - d^2$$

$$d \ll x$$

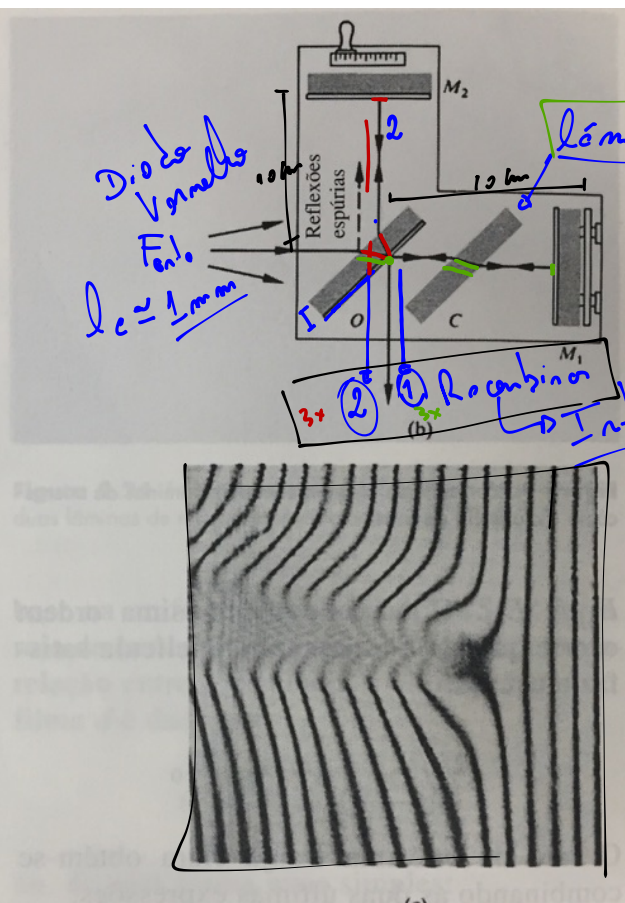
$$x^2 = 2Rd$$

$$d = \frac{x^2}{2R}$$

Interferômetros com espelhos



(a)



(c)

Figura 9.27 Interferômetro de Michelson. (a) As franjas circulares estão centradas no eixo da lente. (b) Representação esquemática do interferômetro, clarificando o percurso das duas ondas. (c) O padrão de franjas associado a duas ondas que se intersectam segundo um ângulo muito pequeno, pode ser distorcido pela ponta de um ferro de soldar aquecido, introduzido num dos ramos do interferômetro. (Fotografia de E.H.).

